

Tema 2 - Metode Numerice

Facultatea de Automatică și Calculatoare
Universitatea Politehnică București

March 31, 2019

Cuprins

1	Introducere	3
1.1	Descompunerea valorilor singulare (DVS)	3
2	Compresia imaginilor folosind DVS	4
2.1	Cerinta 1 [15p]	5
2.2	Cerinta 2 [15p]	5
3	Compresia imaginilor folosind analiza componentelor principale	7
3.1	Cerinta 3 [15p]	7
3.2	Cerinta 4 [15p]	8
3.3	Cerinta 5 [10p]	8
4	Recunoasterea faciala [25p]	10
5	Observatii finale	11
6	Bibliografie	11

1 Introducere

În recunoasterea formelor, selectia și extragerea caracteristicilor reprezintă o alegere decisivă pentru proiectarea oricărui clasificator. Selectia caracteristicilor poate fi văzută și ca un proces de compresie de date, fiind similară cu o transformare liniară din spațiul inițial al observațiilor într-un spațiu cu mai puține dimensiuni. O astfel de transformare este necesară deoarece poate păstra o mare parte din informații (prin eliminarea informațiilor redundante sau a celor mai puțin semnificative) și permite aplicarea unor algoritmi eficienți într-un spațiu de dimensiuni reduse.

Cele mai multe transformări utilizate pentru selectia caracteristicilor sunt cele liniare, în timp ce transformările neliniare au o complexitate mai ridicată, sunt mai dificil de implementat, dar pot avea o eficiență mai mare asupra rezultatelor, exprimând mai bine dependența dintre formele observate și caracteristicile selectate ale acestor forme.

1.1 Descompunerea valorilor singulare (DVS)

Fiind dată o matrice $A \in R^{m \times n}$, descompunerea valorilor singulare (DVS, în eng. singular value decomposition - SDV) ale matricei A este dată de factorizarea $A = USV^T$, unde:

1. $U \in R^{m \times m}$ este o matrice ortonormată
2. $S \in R^{m \times n}$ este o matrice diagonală
3. $V \in R^{n \times n}$ este o matrice ortonormată

Elementele de pe diagonală principală a lui S sunt întotdeauna numere reale non-negative ($s_{ii} \geq 0$ pentru $i = 1 : \min(m, n)$) și se numesc *valorile singulare* ale matricei A . Acestea sunt așezate în ordine descrescătoare, astfel încât $s_{11} \geq s_{22} \geq \dots \geq s_{rr} > s_{r+1, r+1} = \dots = s_{pp} = 0$, unde $p = \min(m, n)$.

Coloanele $u_j \in R^m$, $j = 1 : m$ ale lui U se numesc *vectori singulari stanga* ai matricei A . Coloanele $v_j \in R^n$, $j = 1 : n$ ale lui V se numesc *vectori singulari dreapta* ai matricei A .

De exemplu, pentru matricea:

$$A = \begin{bmatrix} 3 & 2 & 2 \\ 2 & 3 & -2 \end{bmatrix}$$

se obține următoarea descompunere a valorilor singulare:

$$A = USV^T = \begin{bmatrix} 1/\sqrt{2} & 1/\sqrt{2} \\ 1/\sqrt{2} & -1/\sqrt{2} \end{bmatrix} \begin{bmatrix} 5 & 0 & 0 \\ 0 & 3 & 0 \end{bmatrix} \begin{bmatrix} 1/\sqrt{2} & 1/\sqrt{2} & 0 \\ 1/\sqrt{18} & -1/\sqrt{18} & 4/\sqrt{18} \\ 2/3 & -2/3 & -1/3 \end{bmatrix}$$

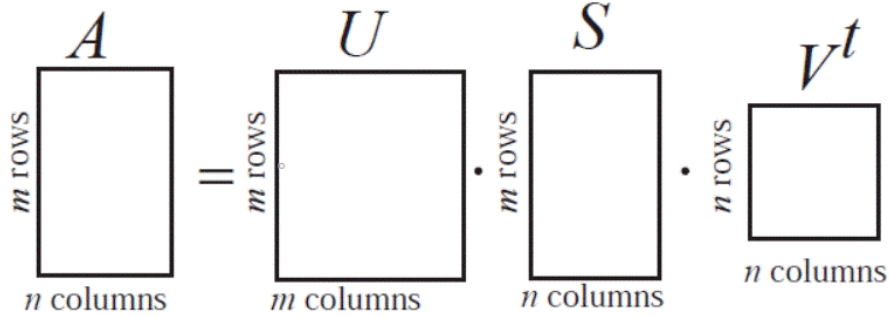


Figura 1: Descompunerea valorilor singulare pentru matricea A de dimensiune $m \times n$, unde $m > n$.

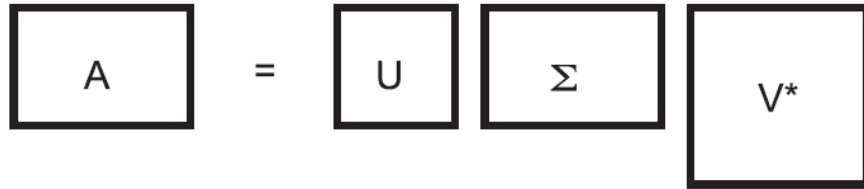


Figura 2: Descompunerea valorilor singulare pentru matricea A de dimensiune $m \times n$, unde $n > m$, $S = \Sigma$, $V^t = V^*$.

2 Compresia imaginilor folosind DVS

Descompunerea reduisa a valorilor singulare presupune descompunerea (factorizarea) matricei A astfel: $A \approx A_k = U_k S_k V_k^T$, unde $A_k \in R^{m \times n}$, $U_k \in R^{m \times k}$, $S_k \in R^{k \times k}$, $V_k^T \in R^{k \times n}$.

Intuitiv, descompunerea reduisa a valorilor singulare semnifica eliminarea valorilor singulare nule sau a valorilor singulare de o valoare mica din matricea S (reprezentand informatia mai putin semnificativa). Acest lucru presupune si eliminarea coloanelor si a liniilor corespunzatoare acestor valori singulare din matricele U , respectiv din V (vezi Figura 3).

In cele ce urmeaza, presupunem ca matricea A reprezinta modelarea matematica pentru o imagine alb-negru clara si matricea A_k este modelarea matematica pentru o imagine alb-negru aproximativa a imaginii clare. Ambele imagini au dimensiune $m \times n$ pixeli. Fiecare element (i, j) din matricele A si A_k corespunde intensitatii de gri a pixelului (i, j) din imagine. Prin urmare, elementele matricelor A si A_k au valori cuprinse intre 0 (corespunzatoare culorii negre) si 255 (corespunzatoare culorii albe).

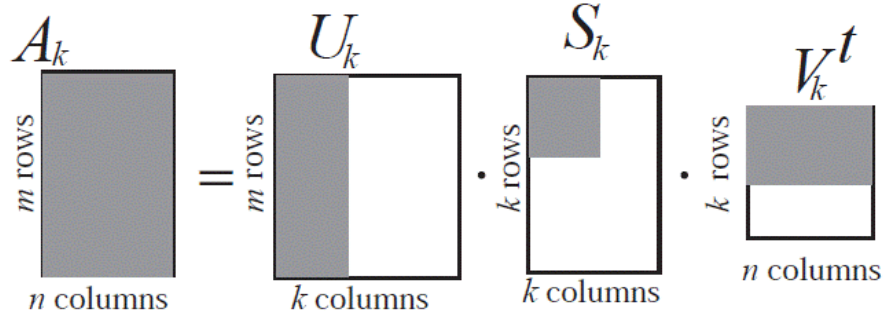


Figura 3: Exemplu de descompunere reduca a valorilor singulare pentru matricea A , $m \times n$ dimensională, $m > n$. Aceasta descompunere presupune eliminarea porțiunilor hasurate în alb din matricele U , S , respectiv V^t . Porțiunile hasurate în gri (notate U_k , S_k , respectiv V_k^t) din matricele U , S , respectiv V se vor păstra. Astfel, matricea A_k va aproxima matricea inițială A .

2.1 Cerinta 1 [15p]

În cadrul acestei cerințe, va trebui să scrieți o funcție Octave pentru comprimarea unei imagini folosind descompunerea redusă a valorilor singulare. Semnatura funcției este: `function A_k = task1 (image, k)`, unde *image* reprezintă calea către imagine și k numărul de valori singulare. Funcția trebuie să întoarcă matricea A_k având semnificația de mai sus.

2.2 Cerinta 2 [15p]

Scrieți o funcție pentru a obține următoarele 4 grafice pentru o imagine:

- folosind descompunerea valorilor singulare:

1. reprezentați grafic toate *valorile singulare* ale matricei A în ordine descrescătoare.

- folosind descompunerea redusă a valorilor singulare (cerinta 1), pentru diferite valori ale lui k (de exemplu, k poate fi [1:19 20:20:99 100:30:min(m,n)]):

2. reprezentați grafic k (pe axa OX) și *informația* dată de primele k valori singulare rezultate din descompunerea valorilor singulare ale matricei A (pe axa OY) calculată după formula:

$$\frac{\sum_{i=1}^k s_{ii}}{\sum_{i=1}^{\min(m,n)} s_{ii}}$$

3. reprezentati grafic k (pe axa OX) si *eroarea aproximarii* pentru matricea A (pe axa OY) calculata dupa formula:

$$\frac{\sum_{i=1}^m \sum_{j=1}^n (A(i, j) - A_k(i, j))^2}{m * n}$$

4. reprezentati grafic k (pe axa OX) si *rata de compresie a datelor* (pe axa OY) calculata dupa formula:

$$\frac{m * k + n * k + k}{m * n}$$

Justificare formula: Pentru obtinerea imaginii aproximative avem nevoie sa memoram doar matricele U_k , V_k^T si primele k elemente de pe diagonala principala a matricei S_k . In total, $m*k+n*k+k$ elemente trebuie memorate. Astfel, stocarea acestora ocupa memorie mai putina comparativ cu memoria necesara matricei A pentru $m*n$ elemente. Tinand cont de faptul ca cea mai mare parte din informatia continuta in matrice este data de primele valori singulare, compresia datelor folosind descompunerea reduisa a valorilor singulare permite o reducere de memorie.

Semnatura functiei este `function task2()`.

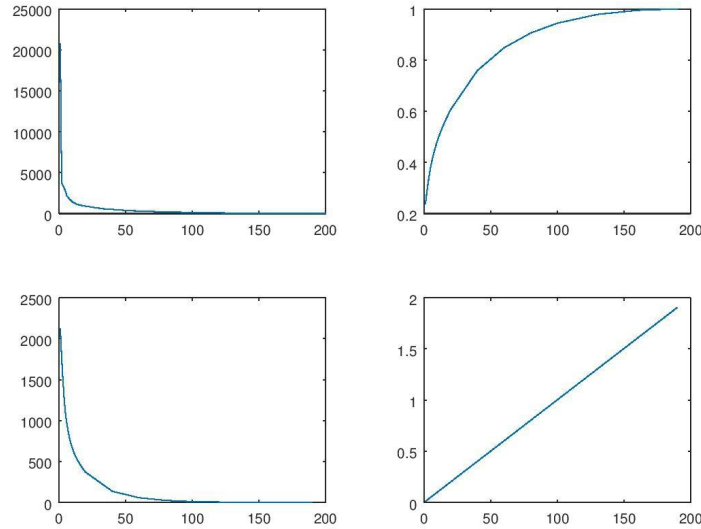


Figura 4: Graficele rezultate pentru cerinta 2 - image1.

Semnificatia graficelor din Figura 4 este urmatoarea:

1. Graficul din stanga-sus ilustreaza valorile singulare, in ordine descrescatoare. Primele valori singulare concentreaza o mare parte din informatia imaginii iar celelalte valori singulare din ce in ce mai putin.

2. Graficul din dreapta-sus reprezinta raportul dintre suma primelor k valori singulare si suma totala. Cu cat luam mai multe valori singulare, raportul tinde catre 1. Este o functie concava pentru ca primele valori singulare concentreaza o parte mai mare de informatie. De aceea, la inceput, cresterea este mai pronuntata. Cu cat luam mai multe valori, panta scade.
3. Graficul din stanga-jos ilustreaza eroarea aproximarii. Initial eroarea este mare, pentru ca imaginea rezultata din compresia cu un k mic difera foarte mult fata de imaginea initiala. Insa, cu cat luam mai multe valori singulare in considerare, imaginea devine mai fidela, iar eroarea din ce in ce mai mica.
4. Graficul din dreapta-jos reprezinta o dreapta de panta pozitiva si de ecuatie $\frac{m*k+n*k+k}{m*n}$, cu m si n constante, iar valoarea k necunoscuta. Concret, rata de compresie a datelor reprezinta raportul dintre memoria ocupata pentru retinerea imaginii la pasul k si memoria totala necesara pentru retinerea imaginii.

3 Compresia imaginilor folosind analiza componentelor principale

Scopul analizei componentelor principale (in eng. principal component analysis - PCA), este de a transforma date de tipul $A = [a_1, a_2, \dots, a_n]$, dintr-un spatiu dimensional R^m intr-un spatiu dimensional R^k , unde $a_i \in R^m$ si $k < m$. Acest spatiu este dat de cele k componente principale (PC). Componentele principale sunt ortonormate, necorelate si reprezinta directia variatiei maxime. Prima componenta principala reprezinta directia variatiei maxime a datelor, urmand ca urmatoarele componente principale sa aduca variatii din ce in ce mai mici.

3.1 Cerinta 3 [15p]

Urmatorul algoritim calculeaza componentele principale folosind metoda DVS: Fie o matrice $A \in R^{m*n}$. Notam coloanele lui A cu $b_j \in R^{m*1}$ unde $j = 1 : n$ iar liniile lui A cu $a_i \in R^{1*n}$ unde $i = 1 : m$.

1. Se calculeaza media pentru fiecare vector $a_i \in R^{1*n}, i = 1 : m$: $\mu_i = \frac{\sum_{j=1}^n a_i(j)}{n}$. Elementele μ_i formeaza componentele vectorului $\mu \in R^{m*1}$.
2. Se actualizeaza vectorii $a_i \in R^{1*n}, i = 1 : m$ astfel: $a_i = a_i - \mu_i$.
3. Se construiesc matricea $Z = \frac{A^T}{\sqrt{n-1}}, Z \in R^{n*m}$.
4. Se calculeaza DVS pentru matricea Z: $Z = USV^T$.
5. Spatiul k-dimensional al componentelor principale (notat cu W) este dat de primele k coloane din matricea $V = [v_1, v_2, \dots, v_m] \in R^{m*m}$ astfel: $W = [v_1, v_2, \dots, v_k]$ (v_1 este prima PC, v_2 este a doua PC s.a.m.d).

6. Se calculeaza proiectia lui A in spatiul componentelor principale, adica matricea $Y = W^T A$.
7. Se aproximeaza matricea initiala astfel: $A_k = WY + \mu$, unde μ a fost calculat la pasul 1.

Functia Octave care implementeaza acesta cerinta este: `function [A_k S] = task3(image, k)`, unde *image* reprezinta calea catre imagine si k numarul de componente principale. Functia intoarce matricele A_k si S cu semnificatia prezentata in acest algoritm.

3.2 Cerinta 4 [15p]

Componentele principale se pot calcula folosind si un algoritm bazat pe matricea de covarianta. Pasii pentru acest algoritm sunt:

Fie o matrice $A \in R^{m \times n}$. Notam coloanele lui A cu $b_j \in R^{m \times 1}$ unde $j = 1 : n$ iar liniile lui A cu $a_i \in R^{1 \times n}$ unde $i = 1 : m$.

- Pasii 1-2 sunt aceeasi ca la cerinta 3.
- Se construiesc matricea de covarianta $Z = \frac{A \cdot A^T}{n-1}$, $Z \in R^{m \times m}$.
- Se aplica functia *eig* asupra matricei Z : $[V S] = eig(Z)$.
- Spatiul k -dimensional al componentelor principale (notat cu W) este dat de primele k coloane din matricea $V = [v_1, v_2, \dots, v_m] \in R^{m \times m}$: $W = [v_1, v_2, \dots, v_k]$.
- Pasii 6-7 sunt aceeasi ca la cerinta 3.

Functia Octave care implementeaza acesta cerinta este: `function [A_k S] = task4(image, k)`, unde *image* reprezinta calea catre imagine si k numarul de componente principale. Functia intoarce matricele A_k si S cu semnificatia prezentata in acest algoritm.

3.3 Cerinta 5 [10p]

Folosind *cerinta 3*, scrieti o functie pentru a obtine urmatoarele 4 grafice pentru o imagine:

1. reprezentati grafic vectorul $diag(S)$.

pentru diferite valori ale lui k (de exemplu, k poate fi [1:19 20:20:99 100:30:min(m,n)]):

2. reprezentati grafic k (pe axa OX) si *informatia* data de primele k valori singulare rezultate din descompunerea valorilor singulare ale matricei Z (pe axa OY) calculata dupa formula:

$$\frac{\sum_{i=1}^k s_{ii}}{\sum_{i=1}^{\min(m,n)} s_{ii}}$$

3. reprezentati grafic k (pe axa OX) si *eroarea aproximarii* pentru matricea A (pe axa OY) calculata dupa formula:

$$\frac{\sum_{i=1}^m \sum_{j=1}^n (A(i,j) - A_k(i,j))^2}{m * n}$$

4. reprezentati grafic k (pe axa OX) si *rata de compresie a datelor* (pe axa OY) calculata dupa formula: $\frac{2*k+1}{n}$ Justificare formula: Matricea A are dimensiunea $m*n$. Pentru reconstructia matricei A este nevoie de W , Y si μ avand fiecare m linii si k coloane (matricele W si Y), respectiv 1 coloana (vectorul μ). Prin urmare, numarul de coloane m -dimensionale de memorat a fost redus de la n la $2*k+1$.

Semnatura functiei este *function task5()*.

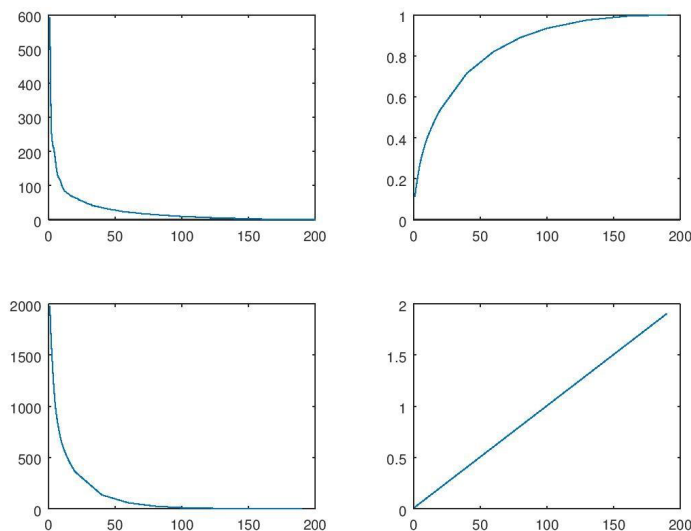


Figura 5: Graficele rezultate pentru cerinta 5 - imagel. Interpretarea este aceeaasi ca la cerinta 2. Rata de compresie se schimba, de data acesta fiind $\frac{2*k+1}{n}$. Cu toate acestea, ramane o dreapta cu panta pozitiva.

4 Recunoasterea faciala [25p]

O alta aplicatie importanta care se bazeaza pe calcularea valorilor si vectorilor proprii este cea de Recunoastere Faciala. La aceasta cerinta, algoritmul va indica pe baza unei multimi de imagini M daca alte imagini sunt fete cunoscute, necunoscute sau nu reprezinta fete umane. Pasii algoritmului sunt urmatoarii:

1. Se citeste fiecare imagine aflata in directorul *dataset* si se transforma intr-un vector coloana. Toti vectorii obtinuti se pun intr-o matrice T .
2. Se calculeaza media pe fiecare linie din matricea T . Rezultatele obtinute se vor salva in vectorul m .
3. Se calculeaza matricea $A = T - m$.
4. Se calculeaza matricea cu fetele proprii $EigFaces = A * V$, unde matricea V contine vectorii proprii corespunzatori valorilor proprii mai mari decat 1 ale matricei $A^T * A$. $EigFaces$ reprezinta spatiul fetelor.
5. Se calculeaza proiectia fiecare imagini din multimea de imagini M in spatiul fetelor astfel: $PrImg = EigFaces^T * A$.
6. Data fiind o imagine de test, aceasta se transforma intr-un vector coloana si se extrage din ea media similar pasilor 1 si 3.
7. Se calculeaza proiectia imaginii de test in spatiul fetelor astfel: $PrTestImg = EigFaces^T * \text{vectorul coloana rezultat la pasul 6}$.
8. Se determina cea mai mica distanta intre proiectia imaginii de test obtinuta la pasul 7 si proiectiile obtinute la pasul 5. Intuitiv, la acest pas, imaginea din multimea M cea mai asemanatoare cu imaginea de test se determina.

Pasii 1-5 se vor implementa in urmatoarea functie:

```
function [m A eigenfaces pr_img] = eigenface_core(database_path)
```

Pasii 6-8 se vor implementa in urmatoarea functie:

```
function [min_dist output_img_index] = face_recognition(image_path,  
m, A, eigenfaces, pr_img)
```

Ultima functie returneaza cea mai mica distanta si indicele proiectiei imaginii de la pasul 5 pentru care se obtinea cea mai mica distanta.

Observatii pentru cerinta curenta:

1. Imaginile trebuie sa fie convertite in formatul grayscale, deoarece imaginile in format RGB reprezinta matrice 3D, nu 2D. In acest scop, se va folosi comanda `double(rgb2gray(imread(image_path)))`. De asemenea, transformarea unei matrice intr-un vector coloana se va face parcurgand elementele primei linii, apoi elementele de pe a doua linie s.a.m.d. pana la ultima linie.

2. Puteti decommenta codul din functia *task6.m* pentru a vedea imaginile obtinute, in rest nu modificati aceasta functie.

5 Observatii finale

1. Imaginile de test pentru cerintele 1-5 sunt doar in format alb-negru. Pentru a citi o imagine in program folositi functiile *imread* si *double* din Octave astfel: *image_matrix = double(imread(image_path))*.
2. Pentru vizualizarea imaginilor pe care le obtineti la cerintele 1-5 folositi functiile *imshow* si *uint8* din Octave astfel: *imshow(uint8(image_matrix))*. Aceasta cerinta nu este obligatorie (checker-ul verifica doar datele returnate de functiile obligatorii), dar va ajuta sa observati diferentele pe imaginile modificate.
3. Puteti sa definiti functii auxiliare in cazul in care aveti nevoie de acestea.
4. In rezolvarea temei, aveti voie sa folositi functiile din Octave (inclusiv functiile *svd* si *eig*) cu o singura restrictie: NU folositi functia *princomp* din Octave.
5. Fisierul *Readme* (cu extensia *.pdf*) va contine detalii despre cum ati rezolvat cerintele si graficele obtinute la cerintele 2 si 5.
Nu este nevoie sa interpretati graficele obtinute la cerintele 2 si 5 este suficient doar sa le afisati in *Readme*. Cerintele 2 si 5 sa le testati pentru oricare 2 imagini diferite de prima imagine din directorul *in*. In total, *Readme* va contine 16 grafice. Tot in *Readme* puteti pune si poze cu imaginile obtinute la cerintele 2 si 5.
6. Checker-ul face testarea automata doar a cerintelor 1, 3, 4 si 6, cerintele 2 si 5 le vom corecta manual.
7. Fisierul *Readme* se puncteaza cu 5 puncte.
8. Tema se va incarca atat pe Moodle cat si pe vmchecker.

6 Bibliografie

1. Richard L. Burden, J. Douglas Faires, *Numerical Analysis*, Editia 9, Subcapitolul 9.6
2. http://www.cs.utexas.edu/users/inderjit/public_papers/HLA_SVD.pdf